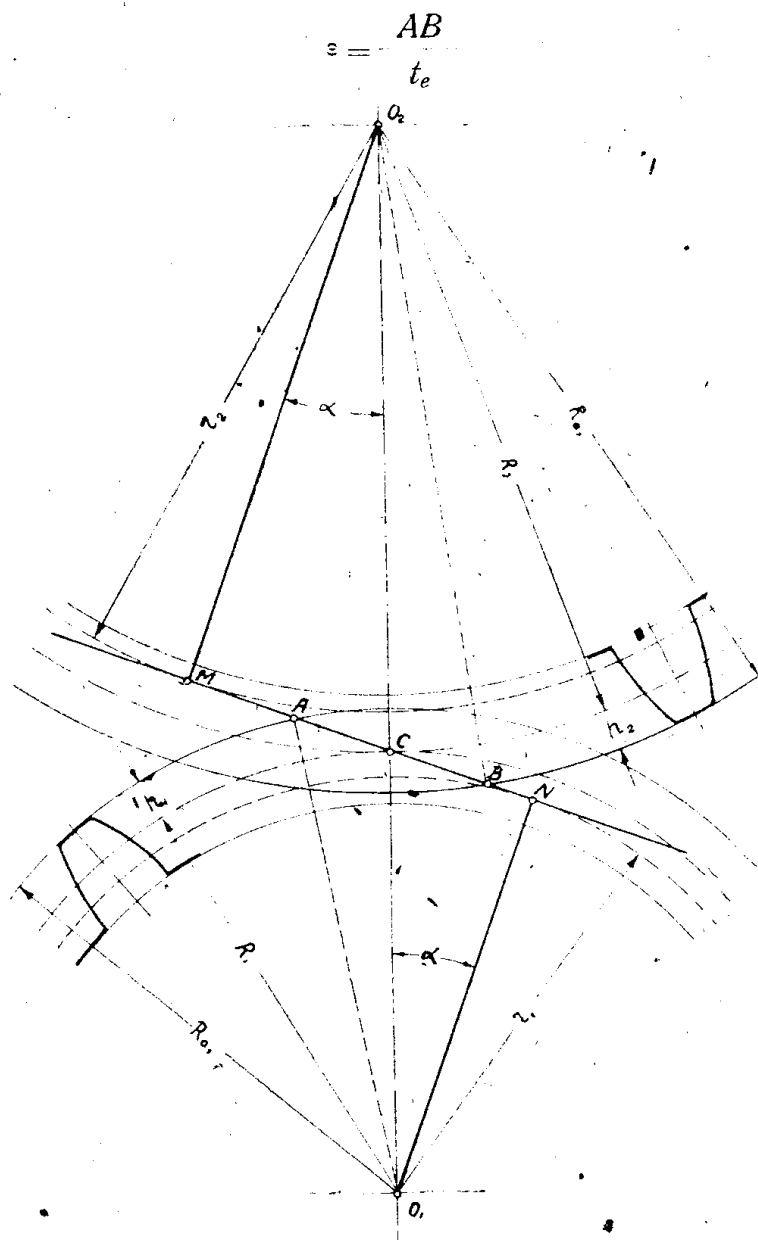


Определение степени перекрытия в двадцатиградусном эвольвентном зацеплении.

В эвольвентном зацеплении степень перекрытия ε определяется отношением длины линии зацепления AB (черт. 1) к шагу по основной окружности t_e . Точки пересечения окружностей выступов колес с образующей прямой A и B определяют собой начало и конец зацепления и ограничивают тот участок образующей прямой, на котором происходит зацепление обоих колес.



Черт. 1.

Обозначим:

R_1 и R_2 —радиусы начальных окружностей колес,

r_1 и r_2 —радиусы основных окружностей колес,

R_{a_1} —радиус окружности выступов колеса O_1 ,

R_{a_2} —то же колеса O_2 ,

α —угол наклона образующей прямой к горизонтали,

$x_1 = \frac{h_1}{m}$ —отношение высоты головки зуба к модулю для колеса O_1 ,

$x_2 = \frac{h_2}{m}$ —то же для колеса O_2 ,

$t = \pi m$ —шаг по начальной окружности;

$t_e = \pi m \cos \alpha$ —шаг по основной окружности,

Z_1 и Z_2 —числа зубьев колес.

Из чертежа 1

$$AB = AC + CB,$$

$$\varepsilon = \frac{AC}{t_e} + \frac{CB}{t_e} = \varepsilon_1 + \varepsilon_2,$$

где:

ε_1 —часть степени перекрытия, соответствующая отрезку AC линии зацепления,

ε_2 —то же, соответствующая отрезку CB .

Величину ε_1 определяем, рассматривая треугольники O_1AN и O_1CN .

$$AC = \sqrt{R_{a_1}^2 - R_1^2 \cos^2 \alpha} - R_1 \sin \alpha.$$

Выражая значения R_{a_1} и R_1 через число зубьев и модуль, получим

$$AC = \frac{Z_1 m}{2} \left[\sqrt{\left(1 + \frac{2x_1}{Z_1} \right)^2 - \cos^2 \alpha} - \sin \alpha \right].$$

Подставляя значение t_e , будем иметь

$$\varepsilon_1 = \frac{Z_1}{2\pi \cos \alpha} \left[\sqrt{\left(1 + \frac{2x_1}{Z_1} \right)^2 - \cos^2 \alpha} - \sin \alpha \right]. \quad (1)$$

Аналогично определяется величина ε_2 из треугольников O_2BM и O_2CN

$$\varepsilon_2 = \frac{Z_2}{2\pi \cos \alpha} \left[\sqrt{\left(1 + \frac{2x_2}{Z_2} \right)^2 - \cos^2 \alpha} - \sin \alpha \right]. \quad (2)$$

Таким образом общая степень перекрытия будет:

$$\varepsilon = \varepsilon_1 + \varepsilon_2 = \frac{Z_1}{2\pi \cos \alpha} \left[\sqrt{\left(1 + \frac{2x_1}{Z_1} \right)^2 - \cos^2 \alpha} + \frac{Z_2}{Z_1} \sqrt{\left(1 + \frac{2x_2}{Z_2} \right)^2 - \cos^2 \alpha} - \left(1 + \frac{Z_2}{Z_1} \right) \sin \alpha \right].$$

Заменяя $\frac{Z_2}{Z_1}$ через передаточное число i , получим

$$\varepsilon = \frac{Z_1}{2\pi \cos \alpha} \left[\sqrt{\left(1 + \frac{2x_1}{Z_1} \right)^2 - \cos^2 \alpha} + \sqrt{\left(i + \frac{2x_2}{Z_1} \right)^2 - (i \cos \alpha)^2 - (1+i) \sin \alpha} \right]. \quad (3)$$

Пользуясь этим уравнением, возможно определить степень перекрытия для любой пары колес при различных углах α , передаточных числах и высотах головок.

Однако, определение степени перекрытия по ур. (3) сопряжено со значительными вычислениями и представляет большие трудности при анализах передач, когда приходится иметь дело с многими вариантами.

Вычисления значительно могут быть упрощены, если зубья обоих колес имеют одинаковую высоту головки.

В конце приводится таблица для определения степени перекрытия для колес, имеющих угол наклона образующей прямой 20° и высоту головки, равной модулю.

При

$$x_1 = x_2 = 1$$

уравнения (1) и (2) примут вид:

$$\varepsilon_1 = \frac{Z_1}{2\pi \cos \alpha} \left[\sqrt{\left(1 + \frac{2}{Z_1}\right)^2 - \cos^2 \alpha} - \sin \alpha \right]. \quad (4)$$

$$\varepsilon_2 = \frac{Z_2}{2\pi \cos \alpha} \left[\sqrt{\left(1 + \frac{2}{Z_2}\right)^2 - \cos^2 \alpha} - \sin \alpha \right]. \quad (5)$$

Из этих уравнений следует, что часть степени перекрытия ε_1 , соответствующая участку AC , зависит только, при постоянном угле α , от числа зубьев Z_1 первого колеса и не зависит от числа зубьев второго колеса. Аналогично и часть степени перекрытия ε_2 для участка CB зависит только от числа зубьев Z_2 второго колеса и не зависит от числа зубьев первого колеса.

Оба уравнения имеют совершенно одинаковую конструкцию и отличаются друг от друга лишь разными значениями Z .

Это обстоятельство позволяет провести отдельно подсчеты частных степеней перекрытия ε_1 для колес с различными числами зубьев. Для получения общей степени перекрытия при любом числе зубьев соприкасающихся колес вся операция подсчета сводится к простому сложению этих двух частных значений ε_1 .

В таблице 1 приведены данные для определения степени перекрытия для колес с числом зубьев до 400 при угле зацепления $\alpha = 20^\circ$ и высоте головки $h = 1m$.

Во втором столбце указаны значения ε_1 , подсчитанные по уравнению (4).

Третий столбец дает значение степени перекрытия при зацеплении двух колес с одинаковыми числами зубьев, при передаточном числе, равном единице. Данные третьего столбца получены путем умножения на 2 значений ε_1 .

В четвертом столбце приведены максимальные значения степени перекрытия при внешнем зацеплении для колес с данным числом зубьев Z .

С увеличением передаточного числа степень перекрытия растет и достигает своего максимума при передаточном числе, равном бесконечности (зацепление с рейкой).

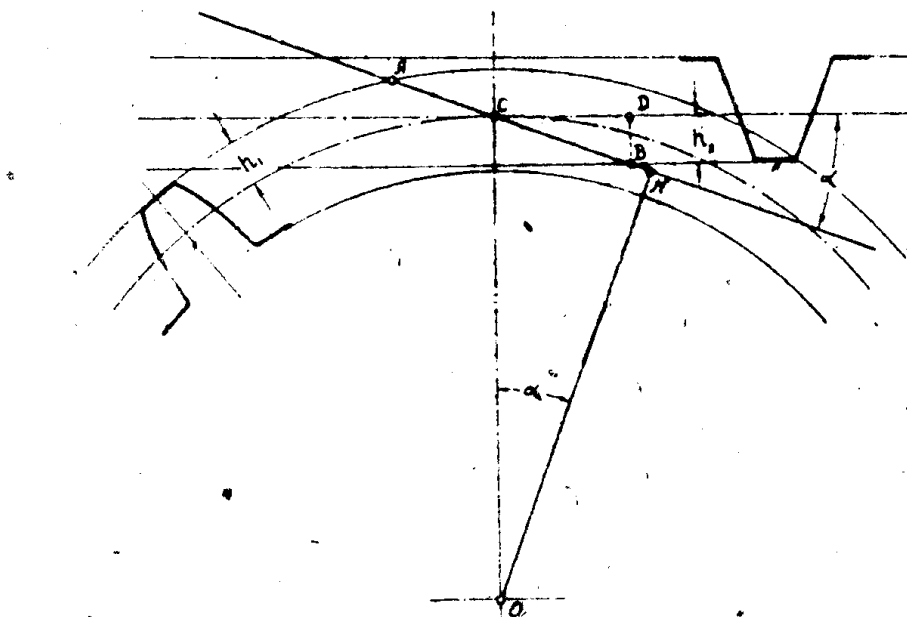
Этот случай показан на черт. 2

$$\varepsilon = \frac{AB}{t_e} = \frac{AC}{t_e} + \frac{CB}{t_e} = \varepsilon_1 + \varepsilon_2.$$

Здесь:

ε_1 — часть степени перекрытия, зависящая только от размеров колеса O_1 .

Значения ε_1 определяются из второго столбца таблицы 1.



Черт. 2.

ε_2 — часть степени перекрытия, соответствующая отрезку CB и зависящая только от высоты головки зуба рейки h_2 .

Из треугольника CBD

$$\varepsilon_2 = \frac{CB}{t_e} = \frac{BD}{\sin \alpha \cdot t_e} = \frac{h_2}{t_e \cdot \sin \alpha}.$$

Подставляя значения h_2 и t_e , получим

$$\varepsilon_2 = \frac{x_2 m}{\pi \cdot m \cdot \sin \alpha \cdot \cos \alpha} = \frac{2x_2}{\pi \cdot \sin 2\alpha}. \quad (6)$$

При $x_2 = 1$

$$\varepsilon_2 = \frac{2}{\pi \cdot \sin 2\alpha} \quad (6a)$$

Из уравнения (6a) следует, что ε_2 не зависит от размеров колеса, сцепляющегося с рейкой, и является величиной постоянной.

При $\alpha = 20^\circ$

$$\varepsilon_2 = \frac{2}{\pi \cdot \sin 40^\circ} = 0,9904.$$

Таким образом максимальное значение степени перекрытия (столбец четвертой таблицы 1) может быть получено путем прибавления к ранее найденному значению ε_1 постоянной величины 0,9904

$$\varepsilon \text{ при } i = \sim = \varepsilon_1 + 0,9904.$$

В пятом столбце таблицы 1 подсчитаны значения относительной длины нормали к эвольвенте в крайней точке зуба. Пользуясь этой величиной, возможно сделать заключение о подрезке зуба.

Из черт. 1

$$\frac{AN}{t_e} = \frac{1}{t_e} \sqrt{R_{a_i}^2 - R_i^2 \cos^2 \alpha}.$$

Подставляя значения R_{a_1} , R_1 и t_e , получим

$$\frac{AN}{t_e} = \frac{Z_1}{2\pi \cos z} \sqrt{\left(1 + \frac{2x_1}{Z_1}\right)^2 - \cos^2 z}. \quad (7)$$

При $x = 1$

$$\frac{AN}{t_e} = \frac{Z_1}{2\pi \cos z} \sqrt{\left(1 + \frac{2}{Z_1}\right)^2 - \cos^2 z}. \quad (7a)$$

Примеры пользования таблицей 1.

а) Определить степень перекрытия для колес с числом зубьев:

$$Z_1 = 24 \text{ и } Z_2 = 47.$$

Из таблицы для

$$Z_1 = 24; \quad \varepsilon_{24} = 0,801,$$

$$Z_2 = 47; \quad \varepsilon_{47} = 0,872,$$

$$\varepsilon = \varepsilon_{24} + \varepsilon_{47} = 0,801 + 0,872 = 1,673.$$

Подрезки зубьев не будет, так как в данном случае

$$\varepsilon < \frac{AN}{t_e}; \quad 1,673 < 2,191.$$

б) То же для:

$$Z_1 = 122, \quad Z_2 = 191$$

$$\varepsilon = \varepsilon_{122} + \varepsilon_{191} = 0,936 + 0,954 = 1,890.$$

Подрезки не будет, так как

$$1,890 < 8,004$$

в) Будет ли подрезка зубьев при $Z_1 = 15$, $Z_2 = 182$?

Теоретическая степень перекрытия (без учета подрезки)

$$\varepsilon = \varepsilon_{15} + \varepsilon_{182} = 0,740 + 0,953 = 1,693.$$

Подрезка зубьев будет, так как

$$\varepsilon > \frac{AN}{t_e}; \quad 1,693 > 1,609.$$

г) Определить наибольшее число зубьев колеса, которое бы работало с колесом $Z_1 = 13$ без подрезки.

Из таблицы: для $Z_1 = 13$, $\varepsilon_{13} = 0,721$, $\frac{AN}{t_e} = 1,474$.

При отсутствии подрезки должно быть соблюдено условие

$$\varepsilon = \varepsilon_{13} + \varepsilon_2 \leq \frac{AN}{t_e}.$$

Отсюда

$$\varepsilon_2 \leq \frac{AN}{t_e} - \varepsilon_{13}; \quad \varepsilon_2 \leq 1,474 - 0,721 = 0,753.$$

По второму столбцу таблицы находим, что этому условию удовлетворяет

$$Z_2 = 16; \quad \varepsilon_{16} = 0,749.$$

Таким образом колесо с числом зубьев $Z_1 = 13$ будет работать без подрезки с колесами, у которых числа зубьев равны: 13, 14, 15, 16; все остальные колеса с другими числами зубьев дадут подрезку.

д) Установить пределы чисел зубьев колес, с которыми могут работать без подрезки колеса с числом зубьев $Z_1 = 14, 15, 16, 17, 18$ и определить для этих колес наибольшую и наименьшую степень перекрытия.

По аналогии с примером (г) получим:

| Число зубьев первого колеса Z_1 | Число зубьев на втором колесе | | Степень перекрытия | |
|-----------------------------------|-------------------------------|------------------|--------------------|--------------------|
| | $Z_2 \min$ | $Z_2 \max$ | $\varepsilon \min$ | $\varepsilon \max$ |
| 13 | 13 | 16 | 1,412 | 1,470 |
| 14 | 13 | 26 | 1,452 | 1,542 |
| 15 | 13 | 45 | 1,461 | 1,607 |
| 16 | 13 | 101 | 1,470 | 1,676 |
| 17 | 14 | >400 | 1,488 | $>1,729$ |
| 18 | 14 | ∞ (рейка) | 1,495 | $<1,742$ |
| | | | | 1,755 |

е) Установить пределы чисел зубьев колес, с которыми может работать без подрезки колесо с числом зубьев $Z_1 = 87$ и определить ε_{\min} и ε_{\max} .

Из таблицы примера (д) следует:

наименьшее число зубьев $Z_2 \min = 16$

наибольшее число зубьев $Z_2 \max = \infty$ (рейка).

Из таблицы 1:

$$\text{для } Z_1 = 87, \quad \varepsilon_{87} = 0,918,$$

$$\text{для } Z_2 = 16, \quad \varepsilon_{16} = 0,749,$$

$$\varepsilon_{\min} = \varepsilon_{87} + \varepsilon_{16} = 0,918 + 0,749 = 1,667.$$

Максимальная возможная степень перекрытия для колеса с $Z_1 = 87$ будет при зацеплении колеса с рейкой и определяется непосредственно из таблицы 1, столбец 4:

$$\varepsilon_{\max} = 1,908.$$

Для определения степени перекрытия для двадцатиградусного эвольвентного зацепления при различных высотах головки зуба составлена таблица 2.

В таблице приведены значения относительной длины нормали к крайней точке эвольвента при различных высотах головки зуба по уравнению (7).

Таблица составлена для колес с числом зубьев от 10 до 100 и изменением x от 1 до 0.

При уменьшении высоты головки зуба точка A (черт. 1) приближается к полюсу зацепления C и при $x=0$ совпадает с полюсом. Длина нормали в этом случае будет равна отрезку CN . Значения относительной длины нормали CN приведены в последнем столбце таблицы.

Для получения частной степени перекрытия ε_1 , соответствующей отрезку AC , необходимо из относительной длины нормали AN вычесть относительную длину нормали CN .

$$\varepsilon_1 = \frac{AN}{t_e} - \frac{CN}{t_e} \quad (8)$$

Примеры пользования таблицей 2.

а) Определить степень перекрытия для колес: $Z_1 = 20$ и $Z_2 = 49$ при высоте головки зуба $h = 0,9 \text{ m}$.

$$\varepsilon_{20} = \frac{AN_{20}}{t_e} - \frac{CN_{20}}{t_e} = 1,871 - 1,159 = 0,712,$$

$$\varepsilon_{49} = \frac{AN_{49}}{t_e} - \frac{CN_{49}}{t_e} = 3,634 - 2,838 = 0,796,$$

$$\varepsilon = \varepsilon_{20} + \varepsilon_{49} = 0,712 + 0,796 = 1,508.$$

Подрезки зубьев не будет, так как

$$\varepsilon_{20} < \frac{CN_{49}}{t_e}; \quad 0,712 < 2,838 \quad \text{и} \quad \varepsilon_{49} < \frac{CN_{20}}{t_e}; \quad 0,796 < 1,159.$$

б) Тоже: при $Z_1 = 15$; $h_1 = 0,7 \text{ m}$

$$Z_2 = 29; \quad h_2 = 0,9 \text{ m}$$

$$\varepsilon_{15} = 1,420 - 0,869 = 0,551$$

$$\varepsilon_{29} = 2,431 - 1,680 = 0,741$$

$$\varepsilon = \varepsilon_{15} + \varepsilon_{29} = 0,551 + 0,741 = 1,292.$$

Подрезки не будет, так как

$$\varepsilon_{15} < \frac{CN_{29}}{t_e} \quad \text{и} \quad \varepsilon_{29} < \frac{CN_{15}}{t_e}.$$

в) Определить наибольшую высоту головки зуба у колес с числом зубьев $Z_1 = 10$ и $Z_2 = 10$, при которой отсутствует подрезка.

При отсутствии подрезки должно быть соблюдено условие:

$$\varepsilon_{10} \leq \frac{CN_{10}}{t_e}. \quad (\text{a})$$

Из уравнения (8)

$$\varepsilon_{10} = \frac{AN_{10}}{t_e} - \frac{CN_{10}}{t_e}. \quad (\text{b})$$

Решая совместно уравнения (a) и (b), получим

$$2 \frac{CN_{10}}{t_e} \geq \frac{AN_{10}}{t_e}. \quad (\text{c})$$

Из первой строки таблицы 1, последний столбец,

$$\frac{CN_{10}}{t_e} = 0,579; \quad 2 \frac{CN_{10}}{t_e} = 1,158.$$

Условию (c) удовлетворяет значение $\frac{AN_{10}}{t_e} = 1,152$, при котором высота головки зуба $h = 0,8 \text{ m}$.

Степень перекрытия при этом будет:

$$\varepsilon_{10} = 1,152 - 0,579 = 0,573; \quad \varepsilon = \varepsilon_{10} + \varepsilon_{10} = 1,146.$$

г) Колесо с числом зубьев $Z_1 = 12$ и высотой головки $h_1 = 1 \text{ m}$ находится в зацеплении с колесом $Z_2 = 45$.

Определить наибольшую высоту головки h_2 у колеса Z_2 при условии отсутствия подрезки.

Условие отсутствия подрезки:

$$\varepsilon_{45} \leq \frac{CN_{12}}{t_e} \quad (\text{a})$$

По уравнению (8)

$$\varepsilon_{45} = \frac{AN_{45}}{t_e} - \frac{CN_{45}}{t_e} \quad (\text{b})$$

Из (a) и (b) получим

$$\frac{CN_{12}}{t_e} + \frac{CN_{45}}{t_e} \geq \frac{AN_{45}}{t_e}; \quad 0,695 + 2,607 \geq \frac{AN_{45}}{t_e}; \quad \frac{AN_{45}}{t_e} \leq 3,302.$$

Этому условию удовлетворяет для колеса $Z_2 = 45$ значение высоты головки между $0,8m$ и $0,7m$.

Интерполируя, находим

$$x_2 = 0,7 + 0,1 \frac{3,302 - 3,235}{3,317 - 3,235} = 0,78; \quad h_2 = 0,78m.$$

При такой высоте головки относительная длина нормали будет:

$$\frac{AN_{45}(0,78)}{t_e} = 3,235 + (3,317 - 3,235) \frac{0,8}{10} = 3,301.$$

Степень перекрытия:

$$\varepsilon_{12} = 1,405 - 0,695 = 0,710; \quad \varepsilon_{45} = 3,301 - 2,607 = 0,694;$$

$$\varepsilon = \varepsilon_{12} + \varepsilon_{45} = 0,710 + 0,694 = 1,404.$$

д) Два колеса $Z_1 = 20$ и $Z_2 = 60$ с одинаковыми высотами головок зубьев находятся в зацеплении. Определить высоту головки зуба при степени перекрытия $\varepsilon = 1,1$.

По уравнению (8)

$$\varepsilon_{20} = \frac{AN_{20}}{t_e} - \frac{CN_{20}}{t_e}, \tag{a}$$

$$\varepsilon_{60} = \frac{AN_{60}}{t_e} - \frac{CN_{60}}{t_e}. \tag{b}$$

Подставляя значения ε_{20} и ε_{60} в уравнение

$$\varepsilon = \varepsilon_{20} + \varepsilon_{60},$$

получим:

$$\varepsilon + \frac{CN_{20}}{t_e} + \frac{CN_{60}}{t_e} = \frac{AN_{20}}{t_e} + \frac{AN_{60}}{t_e}$$

$$1,1 + 1,159 + 3,476 = \frac{AN_{20}}{t_e} + \frac{AN_{60}}{t_e}; \quad 5,735 = \frac{AN_{20}}{t_e} + \frac{AN_{60}}{t_e}.$$

Сумма относительных нормалей, удовлетворяющих последнему равенству расположена для колес $Z_1 = 20$ и $Z_2 = 60$ между $h = 0,6m$ и $h = 0,7m$.

При $h = 0,6m$; $\frac{AN_{20}}{t_e} + \frac{AN_{60}}{t_e} = 1,662 + 4,034 = 5,696$

$h = 0,7m$; $\frac{AN_{20}}{t_e} + \frac{AN_{60}}{t_e} = 1,734 + 4,118 = 5,852$.

Для суммы 5,735

$$x_2 = 0,6 + \frac{5,735 - 5,696}{5,852 - 5,696} 0,1 = 0,625; \quad h = 0,625m.$$

Относительные нормали при этом значении головки:

$$\frac{AN_{20}}{t_e} = 1,662 + (1,734 - 1,662) \frac{0,25}{10} = 1,680,$$

$$\frac{AN_{60}}{t_e} = 4,034 + (4,118 - 4,034) \frac{0,25}{10} = 4,055.$$

Степень перекрытия:

$$\varepsilon_{20} = 1,680 - 1,159 = 0,521; \quad \varepsilon_{60} = 4,055 - 3,476 = 0,579;$$

$$\varepsilon = \varepsilon_{20} + \varepsilon_{60} = 0,521 + 0,579 = 1,100.$$

Таблица 1

Определение степени перекрытия ϵ для двадцатиградусного эвольвентного зацепления при высоте головки, равной модулю. $a = 20$, $h = 1m$.

Внешнее зацепление.

| Z | ϵ_1 | Степень перекрытия при | | $\frac{AN}{te}$ | Z | ϵ_1 | Степень перекрытия при | | $\frac{AN}{te}$ |
|----|--------------|------------------------|--------------|-----------------|-----|--------------|------------------------|--------------|-----------------|
| | | $i = 1$ | $i = \infty$ | | | | $i = 1$ | $i = \infty$ | |
| 1 | 2 | 3 | 4 | 5 | 1 | 2 | 3 | 4 | 5 |
| 10 | 0.685 | — | — | 1.264 | 60 | 0.892 | 1.785 | 1.883 | 4.368 |
| 11 | 698 | — | — | 335 | 61 | 894 | 787 | 884 | 427 |
| 12 | 710 | — | — | 405 | 62 | 895 | 790 | 885 | 486 |
| 13 | 721 | 1.442 | — | 474 | 63 | 896 | 792 | 886 | 545 |
| 14 | 731 | 463 | — | 542 | 64 | 897 | 794 | 888 | 605 |
| 15 | 740 | 481 | — | 609 | 65 | 898 | 797 | 889 | 664 |
| 16 | 749 | 499 | — | 676 | 66 | 899 | 799 | 890 | 723 |
| 17 | 757 | 514 | — | 742 | 67 | 901 | 801 | 891 | 782 |
| 18 | 764 | 529 | 1.755 | 807 | 68 | 902 | 803 | 892 | 841 |
| 19 | 771 | 543 | 762 | 872 | 69 | 903 | 806 | 893 | 900 |
| 20 | 0.778 | 1.557 | 1.769 | 1.937 | 70 | 0.904 | 1.808 | 1.894 | 959 |
| 21 | 785 | 569 | 775 | 2.001 | 71 | 905 | 810 | 895 | 5.018 |
| 22 | 791 | 581 | 781 | 065 | 72 | 906 | 812 | 896 | 077 |
| 23 | 796 | 591 | 786 | 128 | 73 | 907 | 813 | 897 | 135 |
| 24 | 801 | 602 | 791 | 191 | 74 | 908 | 815 | 898 | 194 |
| 25 | 806 | 612 | 796 | 254 | 75 | 909 | 817 | 899 | 253 |
| 26 | 811 | 621 | 801 | 317 | 76 | 909 | 819 | 900 | 312 |
| 27 | 815 | 630 | 805 | 379 | 77 | 910 | 821 | 901 | 371 |
| 28 | 819 | 638 | 809 | 441 | 78 | 911 | 822 | 902 | 429 |
| 29 | 823 | 646 | 813 | 503 | 79 | 912 | 824 | 902 | 488 |
| 30 | 0.827 | 1.653 | 1.817 | 2.565 | 80 | 0.913 | 1.826 | 1.903 | 5.547 |
| 31 | 830 | 661 | 821 | 626 | 81 | 914 | 827 | 904 | 606 |
| 32 | 833 | 667 | 824 | 687 | 82 | 914 | 829 | 905 | 664 |
| 33 | 836 | 673 | 827 | 748 | 83 | 915 | 830 | 906 | 723 |
| 34 | 840 | 680 | 831 | 809 | 84 | 916 | 832 | 906 | 782 |
| 35 | 843 | 687 | 834 | 870 | 85 | 917 | 833 | 907 | 840 |
| 36 | 846 | 692 | 837 | 931 | 86 | 917 | 835 | 908 | 899 |
| 37 | 849 | 698 | 839 | 992 | 87 | 918 | 836 | 908 | 958 |
| 38 | 852 | 703 | 842 | 3.053 | 88 | 919 | 838 | 909 | 6.016 |
| 39 | 855 | 709 | 845 | 114 | 89 | 919 | 839 | 910 | 075 |
| 40 | 0.857 | 1.713 | 1.847 | 3.174 | 90 | 0.921 | 1.841 | 1.911 | 6.134 |
| 41 | 859 | 718 | 849 | 234 | 91 | 921 | 842 | 911 | 192 |
| 42 | 861 | 723 | 852 | 294 | 92 | 921 | 843 | 912 | 251 |
| 43 | 863 | 727 | 854 | 354 | 93 | 922 | 844 | 912 | 309 |
| 44 | 865 | 731 | 856 | 414 | 94 | 923 | 845 | 913 | 368 |
| 45 | 867 | 735 | 858 | 474 | 95 | 923 | 847 | 914 | 426 |
| 46 | 870 | 740 | 860 | 534 | 96 | 924 | 848 | 914 | 485 |
| 47 | 872 | 744 | 862 | 594 | 97 | 924 | 849 | 915 | 543 |
| 48 | 874 | 747 | 864 | 654 | 98 | 925 | 850 | 915 | 602 |
| 49 | 876 | 751 | 866 | 714 | 99 | 926 | 851 | 916 | 660 |
| 50 | 0.878 | 1.755 | 1.868 | 3.774 | 100 | 0.926 | 1.852 | 1.917 | 6.719 |
| 51 | 879 | 758 | 869 | 833 | 101 | 927 | 854 | 917 | 777 |
| 52 | 881 | 761 | 871 | 893 | 102 | 927 | 855 | 918 | 836 |
| 53 | 882 | 764 | 873 | 952 | 103 | 928 | 856 | 918 | 894 |
| 54 | 884 | 768 | 874 | 4.012 | 104 | 928 | 857 | 919 | 953 |
| 55 | 885 | 771 | 876 | 071 | 105 | 929 | 858 | 919 | 7.011 |
| 56 | 887 | 774 | 877 | 131 | 106 | 929 | 859 | 920 | 070 |
| 57 | 888 | 776 | 879 | 190 | 107 | 930 | 860 | 920 | 128 |
| 58 | 890 | 779 | 880 | 249 | 108 | 930 | 861 | 921 | 186 |
| 59 | 891 | 782 | 881 | 309 | 109 | 931 | 862 | 921 | 245 |

| Z | ε_1 | Степень перекрытия при | | $\frac{AN}{te}$ | Z | ε_1 | Степень перекрытия при | | $\frac{AN}{te}$ |
|-----|-----------------|------------------------|--------------|-----------------|-----|-----------------|------------------------|--------------|-----------------|
| | | $i = 1$ | $i = \infty$ | | | | $i = 1$ | $i = \infty$ | |
| 1 | 2 | 3 | 4 | 5 | 1 | 2 | 3 | 4 | 5 |
| 110 | 0.931 | 1.863 | 1.922 | 7.303 | 168 | 950 | 900 | 940 | 682 |
| 111 | 932 | 864 | 922 | 362 | 169 | 950 | 900 | 940 | 740 |
| 112 | 932 | 864 | 923 | 420 | | | | | |
| 113 | 933 | 865 | 923 | 478 | 170 | 0.950 | 1.901 | 1.941 | 10.798 |
| 114 | 933 | 866 | 923 | 537 | 171 | 951 | 901 | 941 | 856 |
| 115 | 933 | 867 | 924 | 595 | 172 | 951 | 901 | 941 | 944 |
| 116 | 934 | 868 | 924 | 654 | 173 | 951 | 902 | 941 | 972 |
| 117 | 934 | 869 | 925 | 712 | 174 | 951 | 902 | 942 | 11.031 |
| 118 | 935 | 870 | 925 | 770 | 175 | 951 | 903 | 942 | 089 |
| 119 | 935 | 870 | 926 | 829 | 176 | 951 | 903 | 942 | 147 |
| 120 | 0.936 | 1.871 | 1.926 | 7.887 | 177 | 952 | 904 | 942 | 205 |
| 121 | 936 | 872 | 926 | 945 | 178 | 952 | 904 | 942 | 263 |
| 123 | 936 | 873 | 927 | 8.004 | 179 | 952 | 904 | 943 | 321 |
| 123 | 937 | 874 | 927 | 062 | | | | | |
| 124 | 937 | 874 | 928 | 120 | 180 | 0.952 | 1.905 | 1.943 | 11.379 |
| 125 | 938 | 875 | 928 | 178 | 181 | 953 | 905 | 943 | 437 |
| 126 | 938 | 876 | 928 | 237 | 182 | 953 | 906 | 943 | 496 |
| 127 | 938 | 877 | 929 | 295 | 183 | 953 | 906 | 943 | 554 |
| 128 | 939 | 877 | 929 | 353 | 184 | 953 | 906 | 943 | 612 |
| 129 | 939 | 878 | 929 | 412 | 185 | 953 | 907 | 944 | 670 |
| 130 | 0.939 | 1.879 | 1.930 | 8.470 | 186 | 953 | 907 | 944 | 728 |
| 131 | 940 | 879 | 930 | 528 | 187 | 954 | 907 | 944 | 786 |
| 132 | 940 | 880 | 930 | 586 | 188 | 954 | 908 | 944 | 844 |
| 133 | 940 | 881 | 931 | 645 | 189 | 954 | 908 | 944 | 902 |
| 134 | 941 | 881 | 931 | 703 | | | | | |
| 135 | 941 | 882 | 931 | 761 | 190 | 0.954 | 1.908 | 1.945 | 11.960 |
| 136 | 941 | 883 | 932 | 820 | 191 | 954 | 909 | 945 | 12.019 |
| 137 | 942 | 883 | 932 | 878 | 192 | 955 | 909 | 945 | 077 |
| 138 | 942 | 884 | 932 | 936 | 193 | 955 | 909 | 945 | 135 |
| 139 | 942 | 885 | 933 | 994 | 194 | 955 | 910 | 945 | 193 |
| 140 | 0.943 | 1.885 | 1.933 | 9.052 | 195 | 955 | 910 | 945 | 251 |
| 141 | 943 | 886 | 933 | 111 | 196 | 955 | 910 | 946 | 309 |
| 142 | 943 | 886 | 934 | 169 | 197 | 955 | 911 | 946 | 367 |
| 143 | 944 | 887 | 934 | 227 | 198 | 956 | 911 | 946 | 425 |
| 144 | 944 | 888 | 934 | 285 | 199 | 956 | 911 | 946 | 483 |
| 145 | 944 | 888 | 934 | 345 | | | | | |
| 146 | 944 | 889 | 935 | 402 | 200 | 0.956 | 1.912 | 1.946 | 12.541 |
| 147 | 945 | 889 | 935 | 460 | 210 | 957 | 914 | 947 | 13.122 |
| 148 | 945 | 890 | 935 | 518 | 220 | 959 | 918 | 949 | 702 |
| 149 | 945 | 891 | 936 | 576 | 230 | 960 | 920 | 951 | 14.283 |
| 150 | 0.945 | 1.891 | 1.936 | 9.635 | 240 | 961 | 922 | 952 | 864 |
| 151 | 946 | 892 | 936 | 693 | 250 | 962 | 925 | 953 | 15.444 |
| 152 | 946 | 892 | 936 | 751 | 260 | 963 | 927 | 954 | 16.024 |
| 153 | 946 | 893 | 937 | 808 | 270 | 964 | 929 | 955 | 605 |
| 154 | 947 | 893 | 937 | 867 | 280 | 965 | 930 | 956 | 17.185 |
| 155 | 947 | 894 | 937 | 926 | 290 | 966 | 932 | 956 | 765 |
| 156 | 947 | 894 | 937 | 984 | | | | | |
| 157 | 947 | 895 | 938 | 10.042 | 300 | 0.967 | 1.934 | 1.957 | 18.345 |
| 158 | 948 | 895 | 938 | 100 | 310 | 967 | 935 | 958 | 925 |
| 159 | 948 | 896 | 938 | 158 | 320 | 968 | 936 | 959 | 19.505 |
| 160 | 0.948 | 1.896 | 1.938 | 10.216 | 340 | 969 | 939 | 960 | 665 |
| 161 | 948 | 897 | 939 | 275 | 350 | 970 | 940 | 960 | 21.245 |
| 162 | 949 | 897 | 939 | 333 | 360 | 970 | 941 | 961 | 824 |
| 163 | 949 | 898 | 939 | 391 | 370 | 971 | 942 | 961 | 22.404 |
| 164 | 949 | 898 | 940 | 449 | 380 | 971 | 943 | 962 | 984 |
| 165 | 949 | 898 | 940 | 507 | 390 | 972 | 944 | 962 | 23.564 |
| 166 | 949 | 899 | 940 | 565 | | | | | |
| 167 | 950 | 899 | 940 | 624 | 400 | 0.972 | 1.945 | 1.963 | 24.143 |

Таблица 2.

Относительная длина нормали к крайней точке эвольвенты для двадцатиградусного внешнего эвольвентного зацепления при различной высоте головки зуба.

| Z | Отношение высоты головки зуба к модулю $x = \frac{h}{m}$ | | | | | | | | | | | |
|-----|--|-------|-------|-------|-------|-------|-------|-------|-------|-------|-------|--|
| | 1.0 | 0.9 | 0.8 | 0.7 | 0.6 | 0.5 | 0.4 | 0.3 | 0.2 | 0.1 | 0.0 | |
| 10 | 1.264 | 1.208 | 1.152 | 1.093 | 1.032 | 0.969 | 0.902 | 0.831 | 0.754 | 0.672 | 0.579 | |
| 11 | 335 | 278 | 220 | 160 | 97 | 1.032 | 964 | 892 | 814 | 730 | 637 | |
| 12 | 405 | 347 | 287 | 226 | 162 | 095 | 1.026 | 952 | 873 | 788 | 695 | |
| 13 | 474 | 415 | 354 | 291 | 226 | 158 | 087 | 1.012 | 932 | 846 | 753 | |
| 14 | 542 | 482 | 420 | 356 | 289 | 220 | 148 | 072 | 991 | 904 | 811 | |
| 15 | 1.609 | 1.548 | 1.485 | 1.420 | 1.352 | 1.282 | 1.209 | 1.132 | 1.050 | 0.963 | 0.869 | |
| 16 | 676 | 614 | 549 | 483 | 414 | 344 | 269 | 192 | 109 | 1.022 | 927 | |
| 17 | 742 | 679 | 513 | 546 | 476 | 405 | 329 | 252 | 168 | 080 | 985 | |
| 18 | 807 | 743 | 677 | 609 | 538 | 466 | 389 | 311 | 227 | 138 | 1.043 | |
| 19 | 872 | 807 | 740 | 672 | 600 | 527 | 449 | 370 | 286 | 196 | 101 | |
| 20 | 1.937 | 1.871 | 1.803 | 1.734 | 1.662 | 1.587 | 1.509 | 1.429 | 1.344 | 1.254 | 1.159 | |
| 21 | 2.001 | 934 | 865 | 796 | 723 | 647 | 569 | 488 | 402 | 312 | 216 | |
| 22 | 065 | 997 | 927 | 857 | 784 | 707 | 629 | 547 | 460 | 370 | 274 | |
| 23 | 128 | 2.060 | 989 | 918 | 844 | 767 | 688 | 606 | 518 | 428 | 332 | |
| 24 | 191 | 122 | 2.051 | 979 | 904 | 827 | 747 | 665 | 576 | 486 | 390 | |
| 25 | 2.254 | 2.184 | 2.113 | 2.040 | 1.964 | 1.887 | 1.806 | 1.724 | 1.634 | 1.544 | 1.448 | |
| 26 | 317 | 246 | 174 | 101 | 2.024 | 947 | 865 | 783 | 692 | 602 | 506 | |
| 27 | 379 | 308 | 235 | 162 | 084 | 2.007 | 924 | 842 | 750 | 660 | 564 | |
| 28 | 441 | 370 | 296 | 222 | 144 | 066 | 983 | 901 | 808 | 718 | 622 | |
| 29 | 503 | 431 | 357 | 282 | 204 | 125 | 2.042 | 960 | 866 | 776 | 680 | |
| 30 | 2.565 | 2.492 | 2.418 | 2.342 | 2.264 | 2.184 | 2.101 | 2.018 | 1.924 | 1.834 | 1.738 | |
| 31 | 626 | 553 | 479 | 402 | 324 | 243 | 2.160 | 076 | 982 | 892 | 796 | |
| 32 | 687 | 614 | 539 | 462 | 384 | 302 | 219 | 134 | 2.040 | 950 | 854 | |
| 33 | 748 | 675 | 599 | 522 | 444 | 361 | 278 | 192 | 098 | 2.008 | 912 | |
| 34 | 809 | 736 | 659 | 582 | 504 | 420 | 337 | 250 | 156 | 066 | 969 | |
| 35 | 2.870 | 2.797 | 2.719 | 2.642 | 2.563 | 2.479 | 2.396 | 2.308 | 2.214 | 2.124 | 2.027 | |
| 36 | 931 | 857 | 779 | 702 | 622 | 538 | 455 | 366 | 272 | 182 | 085 | |
| 37 | 992 | 917 | 839 | 762 | 681 | 597 | 514 | 424 | 330 | 240 | 143 | |
| 38 | 3.053 | 977 | 899 | 822 | 740 | 656 | 572 | 482 | 388 | 298 | 201 | |
| 39 | 114 | 3.037 | 959 | 881 | 799 | 715 | 630 | 540 | 456 | 356 | 259 | |
| 40 | 3.174 | 3.097 | 3.019 | 2.940 | 2.858 | 2.774 | 2.688 | 2.598 | 2.514 | 2.414 | 2.317 | |
| 41 | 234 | 157 | 079 | 999 | 917 | 833 | 746 | 656 | 572 | 472 | 375 | |
| 42 | 294 | 217 | 139 | 3.058 | 976 | 892 | 804 | 714 | 630 | 530 | 433 | |
| 43 | 354 | 277 | 199 | 117 | 3.035 | 951 | 862 | 772 | 688 | 588 | 491 | |
| 44 | 414 | 337 | 258 | 176 | 094 | 3.010 | 920 | 830 | 746 | 646 | 549 | |
| 45 | 3.474 | 3.397 | 3.317 | 3.235 | 3.153 | 3.069 | 2.978 | 2.888 | 2.804 | 2.704 | 2.607 | |
| 46 | 534 | 457 | 376 | 294 | 212 | 128 | 3.036 | 946 | 862 | 762 | 664 | |
| 47 | 594 | 516 | 435 | 353 | 271 | 187 | 094 | 3.004 | 920 | 820 | 722 | |
| 48 | 654 | 575 | 494 | 412 | 330 | 246 | 152 | 062 | 978 | 878 | 780 | |
| 49 | 714 | 634 | 553 | 471 | 389 | 305 | 210 | 120 | 3.036 | 936 | 838 | |
| 50 | 3.774 | 3.698 | 3.612 | 3.530 | 3.448 | 3.364 | 3.268 | 3.178 | 3.094 | 2.994 | 2.896 | |
| 60 | 4.368 | 4.284 | 4.201 | 4.118 | 4.034 | 3.949 | 3.851 | 3.759 | 3.673 | 3.572 | 3.476 | |
| 70 | 4.959 | 4.873 | 4.788 | 4.704 | 4.619 | 4.532 | 4.432 | 4.339 | 4.252 | 4.149 | 4.055 | |
| 80 | 5.547 | 5.460 | 5.374 | 5.289 | 5.203 | 5.114 | 5.012 | 4.918 | 4.830 | 4.726 | 4.634 | |
| 90 | 6.134 | 6.046 | 5.959 | 5.873 | 5.786 | 5.695 | 5.592 | 5.497 | 5.408 | 5.302 | 5.213 | |
| 100 | 6.719 | 6.631 | 6.543 | 6.456 | 6.368 | 6.275 | 6.171 | 6.075 | 5.985 | 5.878 | 5.793 | |